

4. Лаврентьев М. А., Шабат Б. В. Методы теории функций комплексного переменного.— М.: Наука, 1965.  
 5. Kern J. Zur Hydrodynamik der Rinnale // Verfahrenstechnik.— 1969.— N 10.  
 6. Towell G. D., Rothfeld L. B. Hydrodynamics of rivulet flow // Amer. Inst. Chem. Engng J.— 1966.— V. 12, N 5.

Поступила 21/VIII 1986 г.

УДК 551.466

**РАСЧЕТ МЕТОДОМ ВОЗМУЩЕНИЙ МАКСИМАЛЬНЫХ  
ГРУППОВЫХ СКОРОСТЕЙ ВНУТРЕННИХ ВОЛН  
В СТРАТИФИЦИРОВАННОЙ СРЕДЕ  
СО СРЕДНИМИ СДВИГОВЫМИ ТЕЧЕНИЯМИ**

B. A. Боровиков, E. C. Левченко

(Москва)

Распространение внутренних гравитационных волн, возбуждаемых в слое  $-H < z < 0$ ,  $-\infty < x, y < \infty$  стратифицированной жидкости со средними горизонтальными сдвиговыми течениями, описывается [1] уравнением

$$(1) \quad Lu(t, x, y, z, z_0) = Q(t, x, y, z, z_0), \quad u = 0(z = 0, -H),$$

где оператор

$$L = \frac{D^2}{Dt^2} \left[ \frac{\partial^2}{\partial x^2} + \frac{\partial^2}{\partial y^2} + \frac{\partial^2}{\partial z^2} \right] - \frac{D}{Dt} \left[ U''_{zz} \frac{\partial}{\partial x} + V''_{zz} \frac{\partial}{\partial y} \right] + N^2 \left[ \frac{\partial^2}{\partial x^2} + \frac{\partial^2}{\partial y^2} \right];$$

$$\frac{D}{Dt} = \frac{\partial}{\partial t} + U \frac{\partial}{\partial x} + V \frac{\partial}{\partial y};$$

$U = U(z)$ ,  $V = V(z)$  — компоненты скорости среднего течения  $\mathbf{U} = \{U, V, 0\}$  на горизонте  $z$ ;  $N(z)$  — частота Брента — Вяйсяля. Используется приближение Буссинеска и твердой крышки. Предполагается выполненным условие устойчивости Майлса  $Ri(z) = N^2(z)/[(U'_z)^2 + (V'_z)^2] > 1/4$ , гарантирующее, что внутренние волны не могут обмениваться со средними сдвиговыми течениями энергией.

В [2] найдена функция Грина граничной задачи (1), т. е. ее решение  $\Gamma(t, x, y, z, z_0)$  при  $Q = \delta(t)\delta(x)\delta(y)\delta(z - z_0)$ , тождественно обращающееся в нуль при  $t < 0$ , и определена асимптотика  $\Gamma$  при  $t \rightarrow \infty$  и фиксированных  $x/t = U_x$ ,  $y/t = U_y$ . Чтобы найти  $\Gamma$ , использовалось преобразование Фурье по переменным  $t, x, y$ , сводящее задачу к определению вертикальной функции Грина  $G(\omega, \lambda, \mu, z, z_0)$ :  $L_0 \left( \omega, \lambda, \mu, z, \frac{\partial}{\partial z} \right) G = (\omega - f)^2 \delta(z - z_0)$ ,  $G = 0$  ( $z = 0, -H$ ). Здесь  $L_0$  — оператор Тейлора — Гольдштейна:  $L_0 u = (\omega - f)^2 u''_{zz} + [k^2(N^2 - (\omega - f)^2) + f''_{zz}(\omega - f)] u$ ;  $f = f(z) = \lambda U(z) + \mu V(z)$ ;  $k^2 = \lambda^2 + \mu^2$ . Функция  $G$  как функция  $\omega$  имеет простые полюсы при вещественных  $\omega = \omega_n(\lambda, \mu)$ , являющихся собственными числами граничной задачи

$$(2) \quad L_0 \left( \omega_n, \lambda, \mu, z, \frac{\partial}{\partial z} \right) \varphi_n = 0, \quad \varphi_n = 0(z = 0, -H),$$

и разрез на вещественной оси  $\omega$ , соединяющий точки ветвления  $\omega = \min f$  и  $\omega = \max f$ .

\* \* \* Переход посредством обратного преобразования Фурье к функции  $\Gamma$  дает выражение

$$(3) \quad \Gamma = \sum_n \Gamma_n + \Gamma_H,$$

где  $\Gamma_n$  соответствует вкладу от  $n$ -го полюса  $\omega = \omega_n(\lambda, \mu)$  функции  $G$ , а

$\Gamma_H$  — интегралу по разрезу функции  $G$ . Функция  $\Gamma_H$  оказывается при  $t \gg 1$  пренебрежимо малой по сравнению с  $\Gamma_n$ , имеющей вид

$$(4) \quad \Gamma_n = \operatorname{Im} \int_{-\infty}^{\infty} \int A_n(\lambda, \mu, z, z_0) \exp i [\lambda x + \mu y - \omega_n(\lambda, \mu) t] d\lambda d\mu.$$

Выражение для  $A_n$  приведено в [2] (далее оно не потребуется),  $\omega_n$  — собственное число граничной задачи (2). В (3) берется суммирование по всем  $\omega_n(\lambda, \mu) < \min_z f(z)$ ; эти собственные числа перенумерованы в порядке возрастания.

Чтобы найти асимптотику  $\Gamma_n$  при  $t, |x|, |y| \gg 1$ , положим  $x = at$ ,  $y = bt$ ,  $t \gg 1$ , т. е. будем искать асимптотику  $\Gamma_n$  при  $t \gg 1$  в точке наблюдения  $x, y$ , удаляющейся от начала координат со скоростью  $\mathbf{U} = (\alpha, \beta)$ . Тогда фазовая функция в (4) запишется в форме  $S = t(\alpha\lambda + \beta\mu - \omega_n(\lambda, \mu))$  и ее стационарные точки определяются из уравнений

$$(5) \quad \alpha = \frac{x}{t} = \frac{\partial \omega_n}{\partial \lambda}, \quad \beta = \frac{y}{t} = \frac{\partial \omega_n}{\partial \mu}.$$

Множество точек  $\alpha = x/t, \beta = y/t$  на плоскости  $\alpha, \beta$  (т. е. область  $\alpha = x/t, \beta = y/t$  в пространстве  $t, x, y$ ), для которых  $t \gg 1$  и система (5) имеет решение, естественно назвать волновой зоной; если  $x/t, y/t$  находятся в волновой зоне, то фазовая функция  $S$  в (4) имеет стационарные точки и  $\Gamma_n$  убывает при  $t \rightarrow \infty$  как  $t^{-1}$ . Вне волновой зоны интеграл (4) не имеет стационарных точек и  $\Gamma_n$  экспоненциально убывает при  $t \rightarrow \infty$ .

Как указано в [2], во всяком случае, для приближающихся к реальным распределениям  $N(z), U(z), V(z)$  волновая зона ограничена двумя замкнутыми кривыми — передним и задним фронтами. Положим  $\lambda = k \cos \psi, \mu = k \sin \psi$ . Тогда передний фронт — это кривая, которую описывает точка  $\alpha = \partial \omega_n(\lambda, \mu)/\partial \lambda, \beta = \partial \omega_n(\lambda, \mu)/\partial \mu$  при  $k \rightarrow 0$  и  $0 < \psi < 2\pi$ ; задний фронт — предел этой кривой при  $k \rightarrow \infty$  и  $0 < \psi < 2\pi$ . При отсутствии течений (когда  $\omega_n(\lambda, \mu) = \omega_n(k), k^2 = \lambda^2 + \mu^2$ ) передний фронт — окружность  $\alpha^2 + \beta^2 = C_n^2$ , где  $C_n$  — максимальная групповая скорость  $n$ -й моды ( $C_n = \max_k \partial \omega_n / \partial k$ ), а задний фронт стягивается в начало координат  $\alpha = \beta = 0$ , так как  $\partial \omega_n / \partial k \rightarrow 0$  при  $k \rightarrow \infty$ . Для заднего фронта в [2] найдены аналитические выражения. Определение формы переднего фронта требует численных расчетов. В настоящей работе предлагается приближенный метод расчета положения переднего фронта, имеющий достаточную точность и на порядок сокращающий объем вычислений.

Подставляя в (5)  $\lambda = k \cos \psi, \mu = k \sin \psi, \omega_n = k \xi_n(k, \psi)$ , получим при  $k \rightarrow 0$  выражение для переднего фронта [2]

$$(6) \quad \alpha = \frac{x}{t} = \xi(\psi) \cos \psi - \xi'(\psi) \sin \psi, \quad \beta = \frac{y}{t} = \xi(\psi) \sin \psi + \xi'(\psi) \cos \psi,$$

где  $\xi(\psi) = \xi_n(\psi)$  —  $n$ -е собственное число зависящей от параметра  $\psi$  спектральной задачи

$$(7) \quad \frac{d}{dz} [(\xi_n - F(z))^2 \varphi_z] + N^2(z) \varphi = 0; \quad \varphi_n = 0 \quad (z = 0, -H).$$

Здесь  $F(z) = U \cos \psi + V \sin \psi; N(z)$  — частота Брента — Вийсяля. Производная  $\xi'_\psi$  выражается квадратурой через собственную функцию  $\varphi_n$ :

$$\xi'_\psi(\psi) = - \int_{-H}^0 (\xi - F) [U \sin \psi - V \cos \psi] (\varphi'_z)^2 dz \left[ \int_{-H}^0 (\xi - F) (\varphi'_z)^2 dz \right]^{-1}.$$

Таким образом, для расчета переднего фронта требуется найти численное решение спектральной задачи (7) при всех  $\psi$ . Чтобы существенно сократить объем вычислений, воспользуемся методом возмущений. Положим  $U = \varepsilon u(z), V = \varepsilon v(z), F(z) = \varepsilon [u \cos \psi + v \sin \psi] = \varepsilon f^*$  и будем

искать решение спектральной задачи (7) в виде рядов  $\xi_n(\psi) = \eta_0 + \varepsilon\eta_1 + \varepsilon^2\eta_2 + \dots$ ,  $\varphi_n(z) = \zeta_0(z) + \varepsilon\zeta_1(z, \psi) + \varepsilon^2\zeta_2(z, \psi) + \dots$ . Подставляя выписанные выражения в (7), получим

$$(8) \quad L^*\zeta_0 = \zeta_{0zz}'' + \frac{N^2(z)}{\eta_0^2} \zeta_0 = 0;$$

$$(9) \quad L^*\zeta_1 = -\frac{2}{\eta_0} [(\eta_1 - f^*) \zeta_{0z}]'_z;$$

$$(10) \quad L^*\zeta_2 = -\frac{2}{\eta_0} [(\eta_1 - f^*) \zeta_{1z}]'_z - \frac{1}{\eta_0^2} [(\eta_1 + 2\eta_2\eta_0 - 2f^*\eta_1 + f^{*2}) \zeta_{0z}]'_z.$$

Из граничных условий в (7) следует  $\zeta_n(0) = \zeta_n(-H)$ . Однако это условие не определяет однозначно функции  $\zeta_0, \zeta_1, \zeta_2$ , так как из (8) вытекает, что  $\zeta_0$  определено с точностью до постоянного множителя, а  $\zeta_n$  — с точностью до решения однородного уравнения  $L^*\zeta_n = 0$ , т. е. с точностью до слагаемого  $\text{const } \zeta_0(z)$ . Чтобы снять эту неопределенность, введем дополнительное условие  $\varphi_n'(0) = 1$ . Тогда  $\zeta_{0z}'(0) = 1$ , а при  $\zeta_{nz}'(0) = 0$  для (8)–(10) получим граничные условия

$$(11) \quad \zeta_n = 0 \quad (z = 0, -H), \quad \zeta_{0z}'(0) = 1, \quad \zeta_{nz}'(0) = 0 \quad (n \geq 1).$$

Выражение (8) — уравнение для собственных функций  $\varphi_n$  при отсутствии течения, отсюда  $\eta_0 = C_n$ ,  $\zeta_0 = \varphi_n(z)/\varphi_n'(0)$ . Условие разрешимости уравнения (9) — ортогональность его правой части к решению  $\zeta_0(z)$  однородного уравнения. Из этого условия получаем

$$\begin{aligned} \varepsilon\eta_1 &= \frac{\varepsilon \int_{-H}^0 f^*(z) (\zeta_{0z}')^2 dz}{\int_{-H}^0 (\zeta_{0z}')^2 dz} = A \cos \psi + B \sin \psi, \\ A &= \frac{1}{M} \int_{-H}^0 U (\zeta_{0z}')^2 dz, \quad B = \frac{1}{M} \int_{-H}^0 V (\zeta_{0z}')^2 dz, \quad M = \int_{-H}^0 (\zeta_{0z}')^2 dz. \end{aligned}$$

И, согласно (6), для переднего фронта находим параметрические уравнения

$$(12) \quad C_x = \frac{x}{t} = \eta_0 \cos \psi + A, \quad C_y = \frac{y}{t} = \eta_0 \sin \psi + B.$$

Таким образом, в первом приближении передний фронт представляется собой окружность с радиусом  $\eta_0 t$  (т. е. с радиусом  $C_n t$ ) и центром  $x = At$ ,  $y = Bt$ . Иными словами, в первом приближении невозмущенный передний фронт сносится как единое целое со скоростью  $\mathbf{U} = (A, B)$ , где  $A$  и  $B$  — средние значения компонент  $U(z)$ ,  $V(z)$  скорости течения, взятые с весом  $(\zeta_{0z}')^2$ . На рис. 1 окружность 1 — передний фронт для среды без течений, 2 — передний фронт, когда в среде есть одномерное сдвиговое течение и при построении учитывается только первое приближение.

Введем подвижную систему координат  $x' = x - At$ ,  $y' = y - Bt$ . В координатах  $t$ ,  $x'$ ,  $y'$  поправки первого приближения к переднему фронту обращаются в нуль и выкладки, необходимые для построения второго приближения, упрощаются (в окончательном выражении для компонент групповой скорости вернемся к исходным переменным  $t$ ,  $x$ ,  $y$ ). Выражение для  $\eta_2$

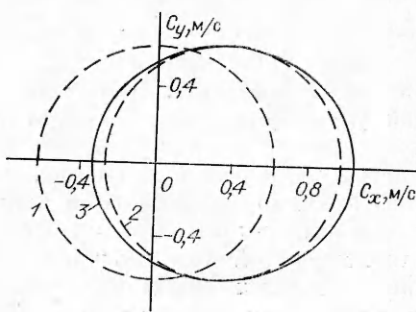


Рис. 1

получается из условия ортогональности правой части (10) к решению однородного уравнения  $\zeta_0$ :

$$\eta_2(\psi) = \frac{2\eta_0 \int_{-H}^0 f^* \zeta'_{1z} \zeta'_{0z} dz - \int_{-H}^0 f^{*2} (\zeta'_{0z})^2 dz}{2\eta_0 \int_{-H}^0 (\zeta'_{0z})^2 dz}.$$

Здесь функция  $\zeta_1$  — решение уравнения (9). Учитывая, что  $\eta_1 = 0$  и  $f^* = u \cos \psi + v \sin \psi$ , представим  $\zeta_1$  в виде  $\varepsilon \zeta_1 = \zeta_u \cos \psi + \zeta_v \sin \psi$ , где  $\zeta_u$  и  $\zeta_v$  — решения следующих уравнений:  $L^* \zeta_u = \frac{2}{\eta_0} [U \zeta'_{0z}]'_z$ ,  $L^* \zeta_v = \frac{2}{\eta_0} [V \zeta'_{0z}]'_z$ .

Выделяя в явном виде зависимость  $\eta_2$  от параметра  $\psi$  и переходя к групповой скорости  $C_x$ ,  $C_y$ , получим

$$(13) \quad C_x = \eta_0 \cos \psi + A + [A_2^0 - A_2^{10} \cos \psi (1 + \sin^2 \psi) - A_2^{20} \sin^3 \psi + A_2^{30} \sin^2 \psi \cos \psi],$$

$$C_y = \eta_0 \sin \psi + B + [B_2^0 - B_2^{10} \sin \psi (1 + \cos^2 \psi) - B_2^{20} \cos^3 \psi + B_2^{30} \cos^2 \psi \sin \psi],$$

где

$$A_2^0 = C_1 \int_{-H}^0 \zeta'_{1z} \zeta'_{0z} U dz; \quad B_2^0 = C_1 \int_{-H}^0 \zeta'_{1z} \zeta'_{0z} V dz;$$

$$A_2^{10} = B_2^{10} = \frac{C_1}{2\eta_0} \int_{-H}^0 U^2 (\zeta'_{0z})^2 dz; \quad A_2^{20} = B_2^{20} = \frac{C_1}{\eta_0} \int_{-H}^0 UV (\zeta'_{0z})^2 dz;$$

$$A_2^{30} = B_2^{30} = \frac{C_1}{2\eta_0} \int_{-H}^0 V^2 (\zeta'_{0z})^2 dz; \quad C_1 = \left[ \int_{-H}^0 (\zeta'_{0z})^2 dz \right]^{-1}.$$

Таким образом, основная часть затрачиваемого машинного времени приходится на нахождение функций  $\zeta_0$ ,  $\zeta_1$  и их производных, после чего вычисляются квадратурные формулы. Второе приближение (13) позволяет описывать снос волнового фронта как целого и его деформацию (на рис. 1 кривая 3 построена с учетом второго приближения).

Простой способ решения спектральной задачи  $L^* \zeta_0 = 0$ ,  $\zeta_0 = 0$  ( $z = 0$ ,  $-H$ ) приведен в [3]. Частота Брента — Вясяля в данном методе аппроксимируется кусочно-постоянной функцией, т. е. весь интервал значений  $[-H; 0]$  разбивается на слои, в каждом из которых решение записывается в аналитическом виде и интегрирование (8) сводится к пересчету функции и ее производной или импеданса  $Z = \zeta_0 / \zeta'_{0z}$  с одного горизонта на другой по всему слою. Тогда уравнение для собственных значений имеет вид  $Z_0^J - Z_{-H}^J = 0$ , где  $Z_{-H}^J$  — импеданс, пересчитанный со дна на  $J$ -й горизонт, а  $Z_0^J$  — импеданс, пересчитанный с поверхности на тот же горизонт. Номер собственного числа определяется числом нулей у соответствующей собственной функции. Интегрирование (9) производится аналогичным методом, при этом решение в каждом слое выражается через решение однородного уравнения и правую часть (9). На основе этого метода написана программа и проведено сравнение «точного» и приближенного методов. Показано, что для реальных (практически для всех устойчивых) течений относительная ошибка определения координат передних фронтов с помощью метода возмущений для первых мод не превышает 10% (этого вполне достаточно при обработке натурных данных).

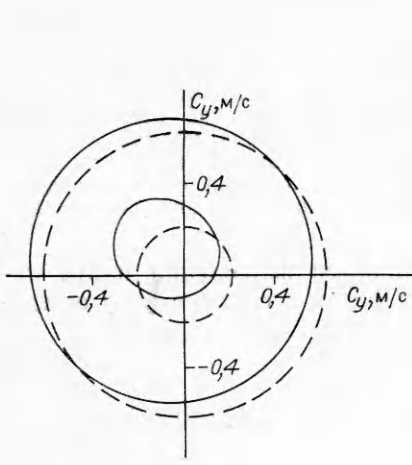


Рис. 2

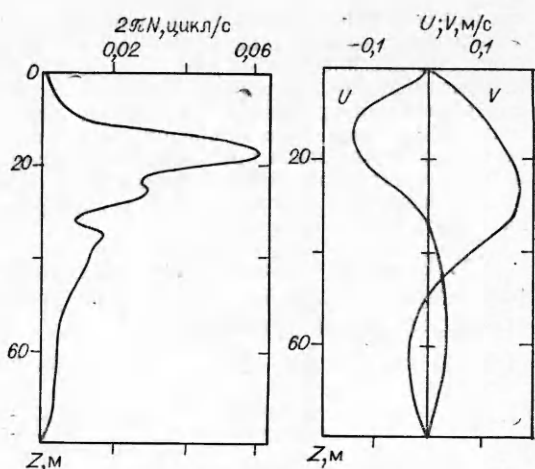


Рис. 3

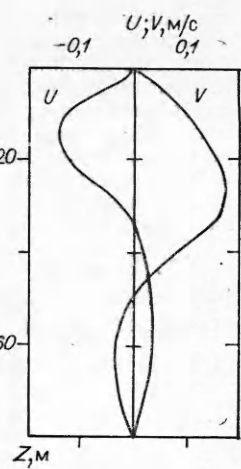


Рис. 4

В качестве примера влияния сдвиговых течений на внутренние волны на рис. 2 представлены передние волновые фронты первой и второй мод внутренних волн в среде с двумерным сдвиговым течением (сплошная кривая). Распределения частоты Брента — Вайсяля и компонент скорости течения брались по результатам измерений и приведены на рис. 3, 4. Для сравнения штриховой линией показаны соответствующие фронты для среды без течений.

Из рис. 1, 2 видно, что наличие течений приводит к существенному изменению положения волновых фронтов, а следовательно, и всего поля внутренних волн. Рассчитывать эти изменения можно при помощи приведенного достаточно точного и простого алгоритма.

#### ЛИТЕРАТУРА

- Миропольский Ю. З. Динамика внутренних гравитационных волн в океане. — Л.: Гидрометеоиздат, 1981.
- Боровиков В. А., Левченко Е. С. Функция Грина уравнения внутренних волн в слое стратифицированной жидкости со средними сдвиговыми течениями // Волны и дифракция. — Тбилиси, 1985. — Т. 1.
- Гончаров В. В. О некоторых особенностях внутренних волн в океане // Цунами и внутренние волны. — Севастополь, 1976.

Поступила 26/VI 1986 г.

УДК 532.546+622.276.65

## О ВЫТЕСНЕНИИ НЕФТИ ГОРЯЧЕЙ ВОДОЙ И ПАРОМ

*A. Ф. Зазовский*

(Москва)

На основании развитого в [1—3] подхода находятся точные решения задач фронтального вытеснения нефти паром и пароводяными смесями [4] в крупномасштабном приближении (т. е. в пренебрежении капиллярными, диффузионными и неравновесными эффектами и теплопроводностью пласта в направлении вытеснения). В целях упрощения задачи предполагается, что вода и пар при их одновременном существовании в пористой среде обладают одинаковыми подвижностями. Тогда трехфазные течения, если они существуют, сводятся к двухфазным с водной фазой, представляющей собой смесь воды и пара. Показано, что структура тепловой волны определяется нелинейной зависимостью удельного теплосодержания обобщенной водной фазы от температуры и независимо от распределения насыщенности. Так, при нагнетании в пласт насыщенного пара температура в пласте меняется скачком, отвечающим фронту конденсации пара в холодную воду. При вытеснении перегретым паром распределение температуры двухступенчатое, с медленным фронтом охлаждения пара до температуры фазового перехода и более быстрым фронтом конденсации. Установлено, что зависимость вытесняющей способности теплоносителя от его удельного теплосодержания но-